

鳥取大学 大学院 ○学生員 桜谷 治  
 鳥取大学 工学部 正員 道上 正規  
 鳥取大学 工学部 正員 鈴木 幸一

1. はじめに 従来、移動床水路における抵抗則を河床形態との関係で論じようとする多くの試みがなされてきた。その場合、河床形態の特性を河床波とみなして、その平均的な波長・波高で代表させることが普通である。しかし、著者らが指摘したように<sup>1)</sup>、水路幅Bと水深hとの比B/hによっては、河床形態は水路横断方向にも著しく変化するため、単に水路中央測線の河床波特性だけで水路全体の抵抗則を論じることには、疑問が残る。そこで、本研究では、河床波特性とその流水に対する抵抗則に関する、平均波長・波高を水路中央測線のもの( $\bar{\Lambda}$ ,  $\bar{\Delta}$ )を使用した場合と、中央測線および側壁近くの測線(2本)の平均値( $\bar{\Lambda}_c$ ,  $\bar{\Delta}_c$ )を使用した場合との比較、ならびに、波長・波高の定義を変えた場合(E-C法およびT-T法)について検討した。

2. 河床形態の特性 図-1は幅Bが50cmの水路における河床縦断形状の一例を示したもので、Yは水路中央測線からの横断方向(cm)の距離である。水路中央測線の縦断形状と側壁近くの測線のものを比較すると、平均的な波長・波高は側壁に近い測線の方が大きくなっていることが認められる。写真-1は同一流量、同一流砂量条件下で、幅が40cmの水路と10cmの水路の河床状態を示したものである。

これを見ると、明らかに40cm水路では、河床形態は三次元的になつてゐる。このように河床形態が三次元的になつたり、三次元的になつたりあることに関与してゐるパラメーターは、水路幅・水深比B/hと考へられ、著者らは、B/h<~4では河床形態は<sup>1)</sup>1次元的に、B/h>4では三次元的になることを指摘している。したがって、河床形態がB/h<4を境にして変化すれば、それに伴って抵抗特性も変化すると考へられる。ここでは、そのことを考慮に入れB/hをパラメーターに用いて検討を行なう。

3. 波長・波高の定義 従来、波長・波高はZero-up-cross法(E-C法)によって求められているが、2章で述べたように、河床が三次元的になつてゐる場合、E-C法では、平均波長・波高は大きな変動に支配されやすく、抵抗に關与してゐるといわれる小さな変動に対する波長・波高を正確に表現せず、またぼらつきも大きくなると考へられる。そこで、大きな変動を除外するために、図-2のように、波の谷から谷までを一つの波とし、連續したすべての波を読みTrough-to-Trough法(T-T法)によって平均波長・波高を求め、E-C法求めたものを用いて抵抗を計算した場合との比較検討を行なう。

4. 河床波の抵抗則 従来、移動床水路の抵抗の問題は、抵抗係数と次元解析等で得られた種々の水理量との関係を明らかにするものと、全抵抗を河床波による形状抵抗と河床面の砂粒による摩擦抵抗に分離して取り扱うものに分けられる。まず、前者について、流速係数 $c_f$ と無次元掃流力 $\tau_{fr}$ との関係を示したものが図-3である。ここに $v$ は平均流速、 $u_*$ は摩擦速度、 $R$ は深さ、 $d$ は平均粒径である。また、図中の実線および破線は、それぞれ芦田<sup>2)</sup>道上<sup>3)</sup>および岸、黒木の提

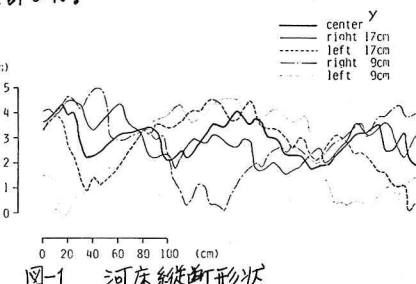


図-1 河床縦断形状



写真-1 河床形態

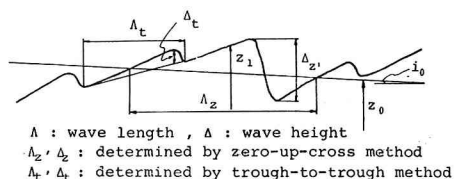


図-2 波長・波高の定義

案曲線( $R/d=100$ )を示している。図-3より、 $B/h < 4$  の●印のデータは、全体的に  $U/U_*$  が提案値よりも大きくなっていることがわかる。これは、 $B/h < 4$  になると水理量が同じでも抵抗が小さくなることと示していると考えられる。次に、後者については、田中、岸、Yalin, 吉川・石川, Vanoni & Hwangなどの研究があるが、ここでは田中の提案式を用いて、平均

$$\frac{1}{\varphi^2} = \frac{1}{\varphi_f^2} + \frac{1}{\varphi_b^2}, \frac{1}{\varphi_b^2} = \frac{1}{2} \Delta, \frac{1}{\varphi_f^2} = \frac{(1 - \varepsilon)^{4/3}}{\{6.0 + 5.75 \log(R/10d \cdot C_f^{0.769})\}^2} \quad (1)$$

ここで、 $\varphi$ : 流速係数,  $\Delta$ : フルード数  $U/h$  の関数,  $\varepsilon$ : 実数(7~10)を用いて、平均波長・波高として水路中央測線だけを使用した場合(図-4)と、中央測線と側壁近くの値の平均値を使用した場合(図-5)との比較を行なった。両図を比較すると、 $B/h < 4$  の●印のデータは両図であまり変化はない。このことは、河床がほぼ二次元的であるため、△と□および△と△はあまり変化しないことからくるものと考えられる。しかし、 $B/h > 4$  の○印のデータでは、側壁近くの測線をも考慮した場合、計算値は比較的実測値と一致していくことが認められる。図-6および図-7は、吉川・石川の提案式、

$$U = \sqrt{\frac{2.88 I}{C_f' + C_f}}, \quad C_f' = \frac{1}{\Delta} \left( C_f d \left( \frac{z}{h} \right) \right)^{1/3} \quad (2)$$

$$C_f'' = C_f \frac{h}{\Delta} \frac{g}{R + \Delta/2} \quad (2)$$

$$C_D = \frac{4(1-\varepsilon)(2+\varepsilon)}{(2-\varepsilon)^2 \{2+(1-2\varepsilon)\}^2} \cdot \frac{\{2(1-\varepsilon)\}h}{2+(1-2\varepsilon)h} + C_{po} \quad (2)$$

ここで、 $I$ : 単位幅流量,  $I$ : 河床勾配,  $g$ : 重力加速度,  $z$ : 波の谷からの流下方向距離,  $\varepsilon$ : 実数=4,  $\Delta$ :  $U/h$ ,  $C_{po}$ : 実数≈0.13,  $\alpha$ : 河床波の上流側斜面角である。において、平均波長・波高をE-C法で求めたものの(図-6)およびT-T法によって求めたものの(図-7)を使用した時の抵抗係数  $C_f$  の実測値と計算値を比較したものである。両図を比較すると、 $B/h < 4$  の○印のものは上と同様にあまり異っていない。これは河床が二次元的な場合、波長・波高はE-C法でもT-T法でも変わらないことからくるものと考えられる。一方、 $B/h > 4$  の○印のデータでは、図-7の方が比較的まとまっているように思われ、三次元的な河床形態の場合は、E-C法よりもT-T法により波長・波高を求めた方がよく結果がまとまるという結果を得た。

4. おわりに 以上が検討結果であるが、抵抗則を河床波特性(波長・波高)との関係で論ずる場合、T-T法で波長・波高を求め、さらに、平均値には、中央測線のものと、側壁近くの2測線のものとの平均を用いると、結果がよくまとまるという結果を得たので、今後、提案式における係数を上ののような方法で定義した波長・波高を用いた場合のものに修正することにより、結果をはらつきなどが改善できるのではないかと思われる。(参考文献) 1) 鈴木道上・岩垣: 第25回水理講演会論文集 1981, 2) 菅田道上: 土木学会論文報告集, 第206号, 1972, 3) 岸・黒木: 北大増部研究報告, 1972. 4) 田中: 京大学論文, 1972. 5) 吉川・石川: 土木学会論文報告集, 第281号, 1979.

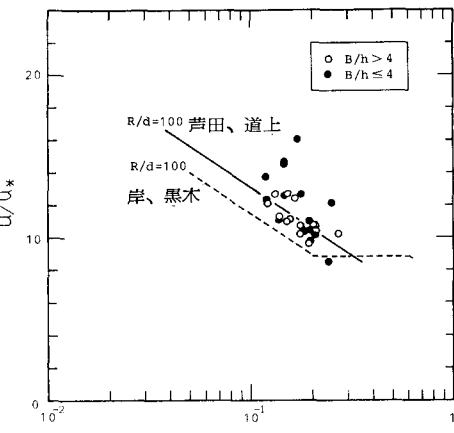


図-3  $Fr^*$  と  $U/U_*$  の関係

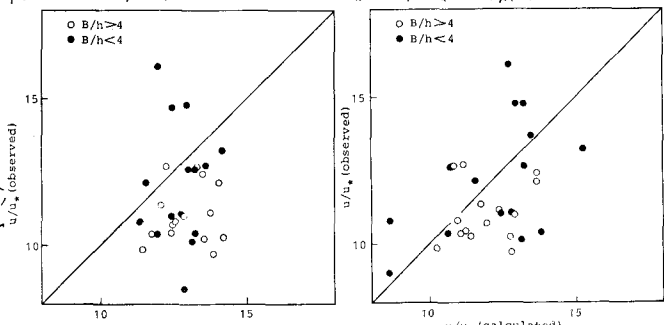


図-4  $U/U_*$  の計算値と実測値の比較(中央測線)

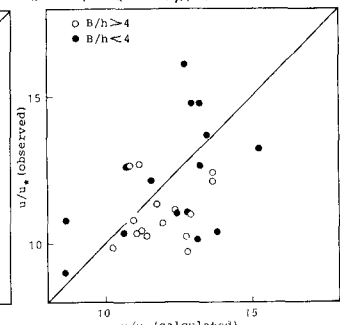


図-5  $U/U_*$  の計算値と実測値の比較(平均値)

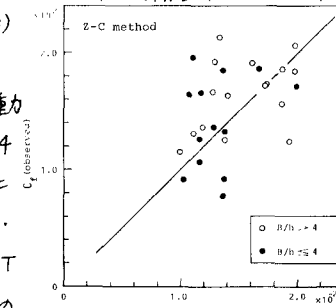


図-6  $C_f$  の計算値と実測値の比較(E-C法)

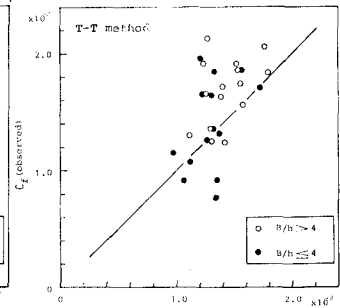


図-7  $C_f$  の計算値と実測値の比較(T-T法)